



Universität  
Zürich<sup>UZH</sup>



# Two-loop corrections to $\mu e$ scattering at NNLO in QED

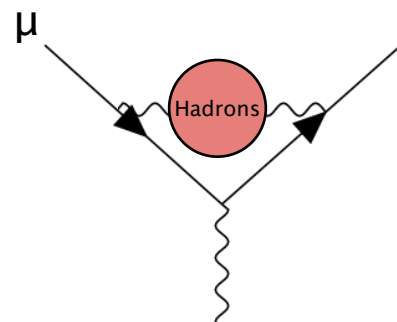
Amedeo Primo  
IFAE 2019, Napoli 8–10 Aprile 2019

In collaborazione con: S.Di Vita, S.Laporta, M.Passera, P.Mastrolia, U.Schubert, W.J.Torres Bobadilla

# MuonE: $(g-2)_{\text{Had}}$ dallo scattering $\mu e$

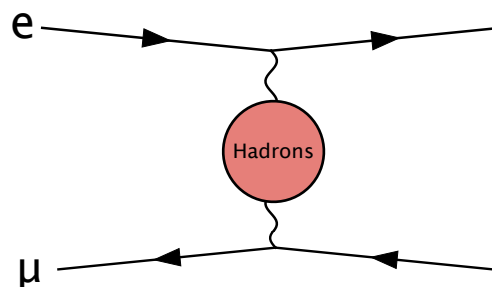
Esperimento MuonE: misura del contributo adronico al  $(g-2)_\mu$  dallo scattering  $\mu e$

- ▶ dati time-like



$$a_\mu^{\text{HLO}} = \frac{1}{4\pi^3} \int_{4m_\pi^2}^\infty ds \int_0^1 dx \frac{x^2(1-x)}{x^2 + (1-x)s/m^2} \sigma_{e^+e^- \rightarrow \text{Had}}$$

- ▶ dati space-like



$$a_\mu^{\text{HLO}} = \frac{\alpha}{\pi} \int_0^1 dx (1-x) \Delta\alpha_{\text{Had}}[t(x)]$$

[Lautrup, Peterman, de Rafael 72]

cfr R.Pilato e A.Principe

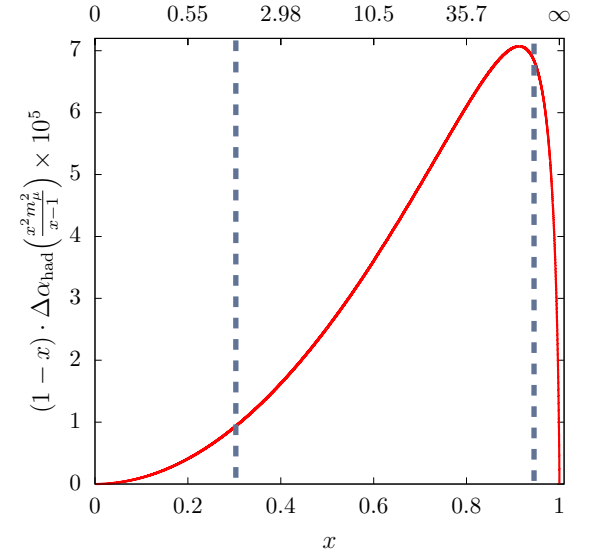
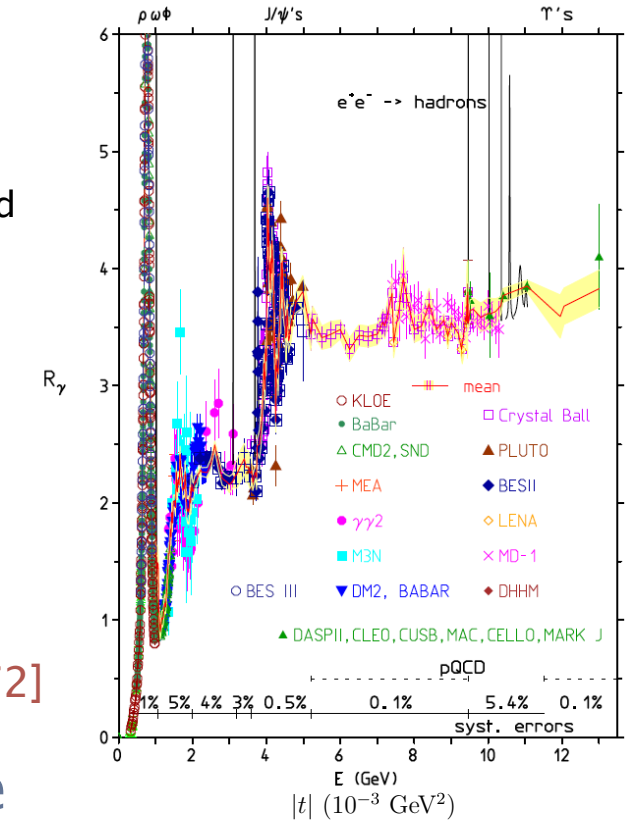
Quale input teorico?

- ▶  $\Delta\alpha_{\text{Had}}$  estratto dalla misura noti i contributi EW a  $d\sigma_{\mu e}$

Quanto precisamente dobbiamo conoscere  $d\sigma_{\mu e}$ ?

- ▶ Tutti i sistematici devono essere controllati a 10ppm

[Carloni Calame, Passera, Trentadue, Venanzoni 15]



# MuonE: programma teorico

Obiettivo: generatore MC per la sezione d'urto SM dello scattering  $\mu e$

- incertezza sistematica segnale/normalizzazione  $\lesssim 10\text{ppm}$

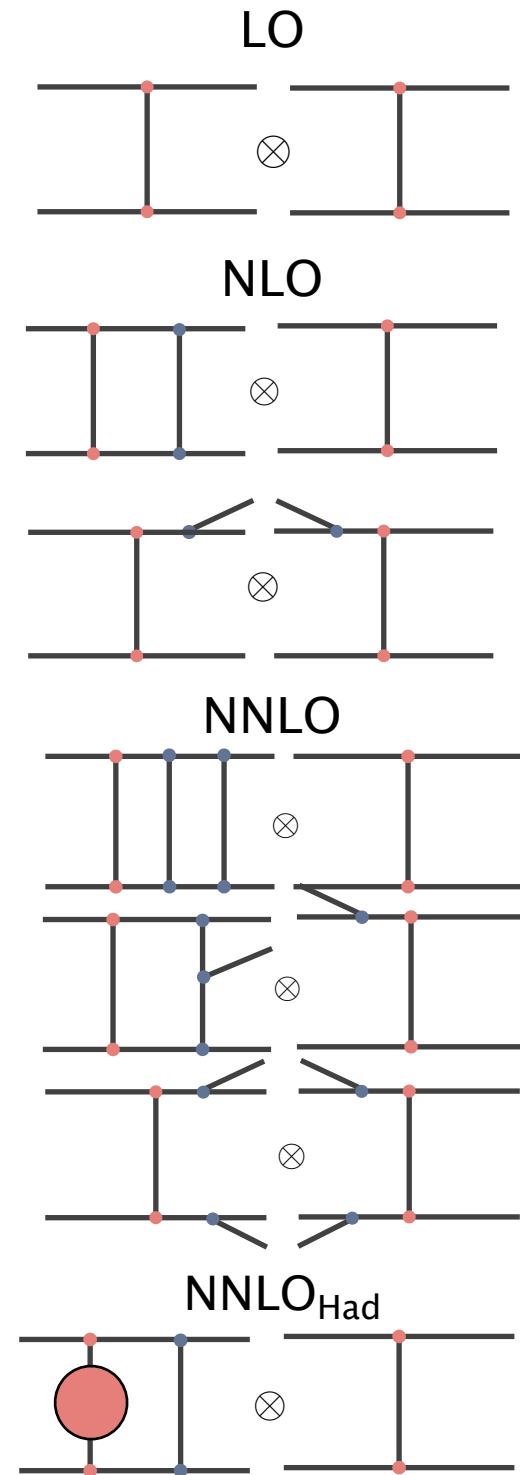
Bulk: correzioni radiative in QED

$$d\sigma = \underbrace{d\sigma^{(0)}}_{\text{LO}} + \underbrace{\alpha d\sigma^{(1)}}_{\text{NLO}} + \underbrace{\alpha^2 d\sigma^{(2)}}_{\text{NNLO}} + \underbrace{\alpha_i^3 d\sigma^{(3)}}_{\text{N}^3\text{LO}} + \mathcal{O}(\alpha_i^4)$$

- NLO QED+EW: MC differenziale disponibile ( $m_e \neq 0$ )  
[Alacevich, Carloni Calame, Chiesa et al 19]
- NNLO QED: elemento di matrice virtuale ( $m_e=0$ )  
[Di Vita, Laporta, Passera, AP, Mastrolia, Schubert, Torres 17,18, xx]  
contributi di doppia e singola emissione  
[Fael, Mastrolia, Ossola, Passera, Signer, Torres-Bobadilla, in corso]
- NNLO adronico da dati space-like  
[Fael, Passera 19]

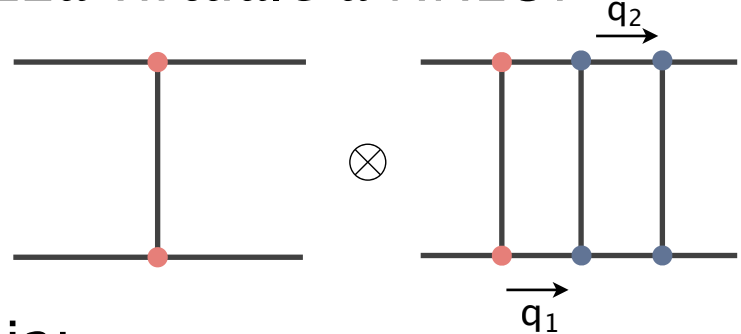
Elemento di matrice fisico

- “massificazione”: effetti  $\sim \log m_e^2$  a NNLO
- risommazione



# Aampiezza virtuale a NNLO

Aampiezza virtuale a NNLO:



Strategia:

$$\mathcal{M}^{(0)*} \mathcal{M}^{(2)} = \sum_k c_k(s, t, m^2) I_k(s, t, m^2)$$

- ▶  $c_k$ : coefficienti razionali
- ▶  $I_k$ : integrali di Feynman a due loop

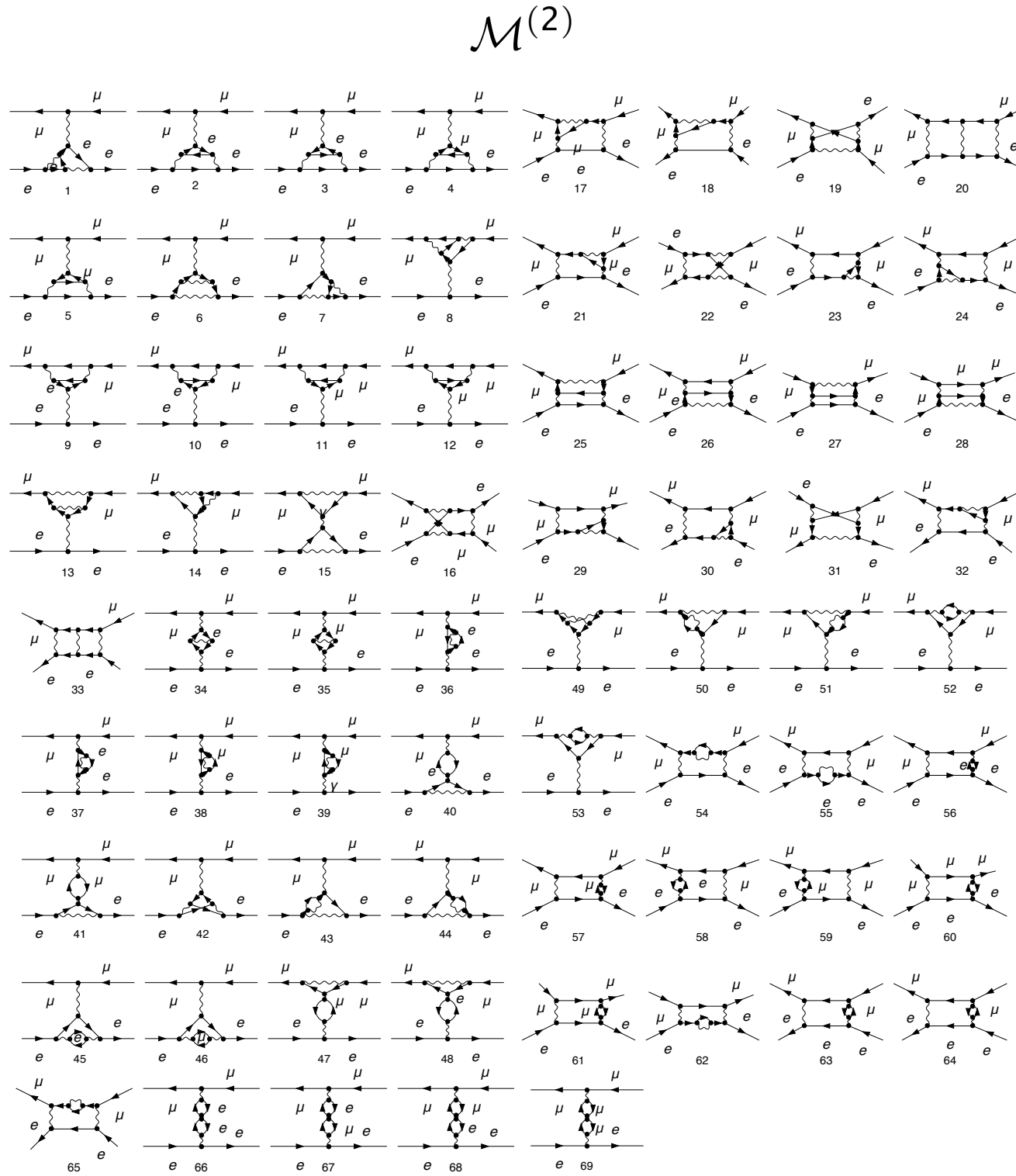
$$\mathcal{I} = \int d^d q_1 d^d q_2 \frac{1}{D_1^{a_1} \dots D_n^{a_n}} \quad D_j = I_j^2 - m_j^2$$

Obiettivo :

- ▶ estrarre i  $c_k$  di una base di master integrals
- ▶ determinare l'espressione analitica degli  $I_k$

Assunzioni:

- ▶ approssimazione  $m_e=0$
- ▶ regolarizzazione dimensionale  $d=4-2\epsilon$



# C<sub>k</sub>: decomposizione

c<sub>k</sub> estratti per via algebrica

- ▶ NLO: decomposizione a livello integrando

[Ossola, Papadopoulos, Pittau 06...]

- ▶ estensione a NNLO

$$\mathcal{M}^{(0)*} \mathcal{M}^{(2)} = \sum_k c' \mathcal{I}_k$$

$$\mathcal{I} = \int d^d q_1 d^d q_2 \frac{1}{D_1^{a_1} \dots D_n^{a_n}}$$

$$D_j = l_j^2 - m_j^2$$

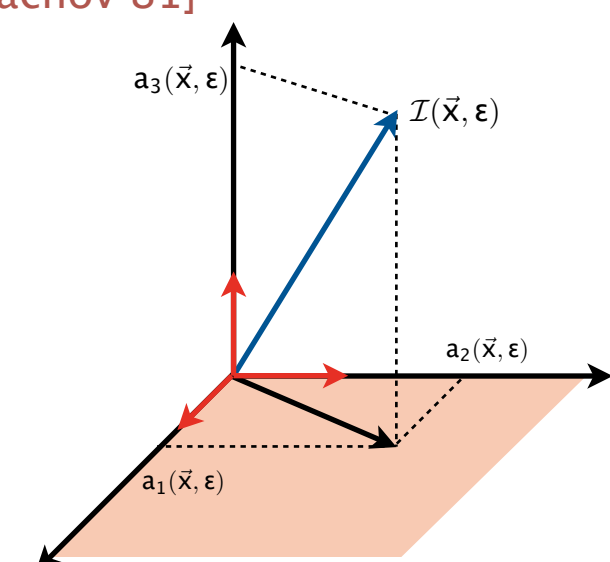
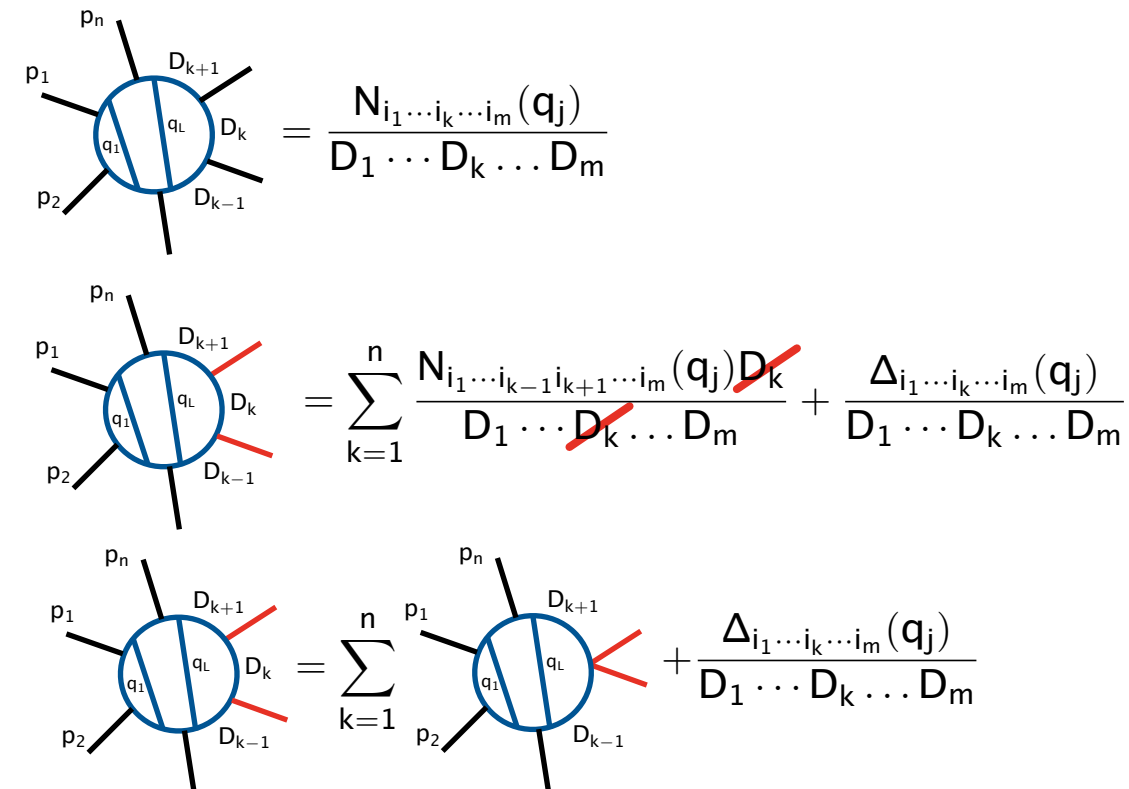
- ▶ algoritmo automatizzabile [Mastrolia, Peraro, AP 16]  
[Mastrolia, Peraro, AP, Ronca, Torres, in corso]
- ▶ A due loop la decomposizione integranda non è minimale

Gli integrali di Feynman soddisfano le integration-by-parts: [Chetyrkin, Tkachov 81]

$$\int \prod_{j=1}^{\ell} d^d q_j \frac{\partial}{\partial q_i^\mu} \left( v^\mu \frac{1}{D_1^{a_1} \dots D_n^{a_n}} \right) = 0 \quad v^\mu \in \{q_i^\mu, p_i^\mu\}$$

- ▶ esiste un numero finito di master integrals
- ▶ I<sub>k</sub> formano una base dello spazio degli integrali di Feynman

$$\mathcal{I}(\vec{x}, \varepsilon) = \sum_{i=1}^N a_i(\vec{x}, \varepsilon) I_i(\vec{x}, \varepsilon)$$



# $I_k$ : equazioni differenziali

$$\mathcal{M}^{(0)*}\mathcal{M}^{(2)} = \sum_{k=1}^{154} c_k(s, t, m^2, \epsilon) I_k(s, t, m^2, \epsilon)$$

Nessun metodo generale per l'integrazione di  $I_k$

$I_k$  soddisfano PDE del primo ordine negli invarianti:

$$\frac{\partial}{\partial x_i} \vec{I}(\vec{x}, \epsilon) = A_i(\vec{x}, \epsilon) \vec{I}(\vec{x}, \epsilon)$$

- ▶  $\vec{I} = (I_1, I_2, \dots, I_N)$

- ▶  $A_i(\vec{x}, \epsilon) = \begin{pmatrix} * & & & & \\ * & * & & & \\ * & * & * & * \\ * & * & * & * \\ * & * & * & * & * \\ * & * & * & * & * & * \end{pmatrix} \quad * = f(\vec{x}, \epsilon)$

Calcolo dei master integral:

- ▶ risolvere le PDE in termini di funzioni speciali note
- ▶ imporre condizioni al contorno fisiche

Topology	# integrals in $\mathcal{M}^{(2)}$	# master integrals $I_k$
	2754 <sup>1</sup>	34 (+21 crossings)
	2359	31 (+16 crossings)
	1128	19 (9 crossings)
	654 <sup>2</sup>	17
	75 <sup>3</sup>	3
	50 <sup>4</sup>	4

1 [Bonciani, Ferroglia, Gehrmann et al 08...]

2 [Bonciani, Mastrolia, Remiddi 03 ]

3 [Gonzalves 83, Kramer, Lampe 87 ]

4 [Aglietti, Bonciani 04]

# $I_k$ : equazioni differenziali canoniche

Soluzione semplificata dalla scelta “canonica” della base di master integrals [Henn 13]

$$d\vec{I}(\vec{x}, \varepsilon) = \varepsilon \left[ \sum_{i=1}^m M_i d\log \eta_i(\vec{x}) \right] \vec{I}(\vec{x}, \varepsilon)$$

- soluzione disaccoppiata ordine per ordine in  $\varepsilon$
  - kernel logaritmici
- $$\vec{I}^{(n)}(\vec{x}) = \sum_{k=0}^n \int dA \dots dA \vec{I}^{(n-k)}(\vec{x}_0)$$

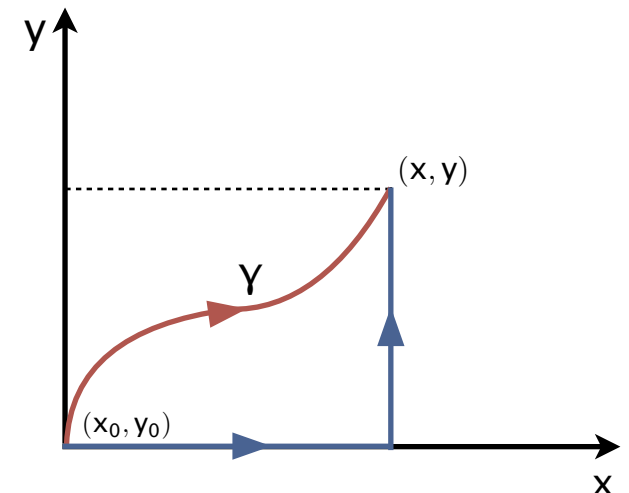
Integrali ripetuti in termini di polilogaritmi

$$G(\vec{\omega}_n; x) = \int_0^x \frac{dt}{t - \omega_1} G(\vec{\omega}_{n-1}; t)$$

$$G(\vec{0}_n; x) = \frac{1}{n!} d\log^n x$$

- proprietà analitiche note
- valutazione numerica rapida ed accurata

[Goncharov 98,  
Remiddi, Vermaseren 99,  
Gehrmann, Remiddi 00...]



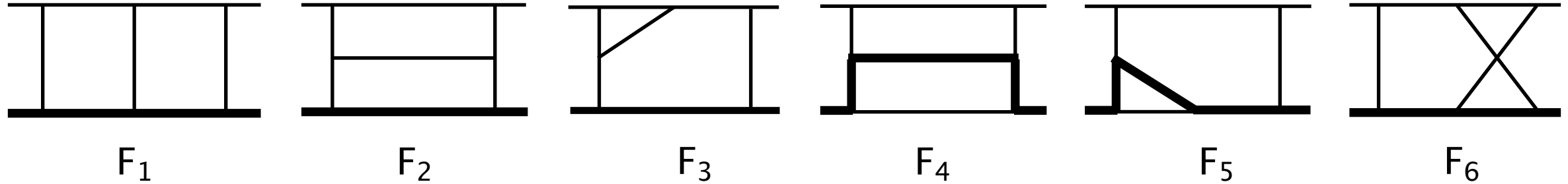
PDE in forma canonica con il metodo di Magnus [Argeri, Di Vita, Mastrolia et al 14]

- condizione iniziale:  $\partial_x \vec{I} = \left( \mathbf{A}^{(0)}(x) + \varepsilon \mathbf{A}^{(1)}(x) \right) \vec{I}$
- Il termine  $\varepsilon = 0$  assorbito dall'esponenziale di Magnus  $\mathbf{B} = \exp \left( \Omega[\mathbf{A}^{(0)}](x) \right)$

$$\partial_x \vec{J} = \varepsilon \left( \mathbf{B}^{-1}(x) \mathbf{A}^{(1)}(x) \mathbf{B}(x) \right) \vec{J}$$

# Master integrals per lo scattering $\mu e$

Funzioni a quattro punti per lo scattering  $\mu e$



- ▶  $F_{1,2,3}$  note dalla produzione di  $t\bar{t}$  a LHC,  $F_{4,5,6}$  sconosciute

PDE in forma canonica con il metodo di Magnus  
[Mastrolia, Passera, AP, Schubert 17]  
[Di Vita, Laporta, Mastrolia, AP, Schubert 18]

$$d\vec{I}(x, y, \varepsilon) = \varepsilon \sum_k M_k d\log \eta_k(x, y) \vec{I}(x, y, \varepsilon)$$

$$\begin{aligned} \text{▶ } F_{4,5} : \quad s &= -m^2 x & t &= -m^2 \frac{(1-y)^2}{y} & \text{▶ } F_6 : \quad \frac{u-m^2}{s-m^2} &= -\frac{x^2}{y} & t &= -m^2 \frac{(1-y)^2}{y} \end{aligned}$$

$\eta_1 = x$	$\eta_4 = y$	$\eta_7 = x + y$	$\eta_1 = y$	$\eta_5 = 1 - x$	$\eta_9 = x^2 - y$
$\eta_2 = 1 + x$	$\eta_5 = 1 + y$	$\eta_8 = 1 + xy$	$\eta_2 = 1 + y$	$\eta_6 = 1 + x$	$\eta_{10} = 1 - y + y^2 - x^2$
$\eta_3 = 1 - x$	$\eta_6 = 1 - y$	$\eta_9 = 1 - y(1 - x - y)$	$\eta_3 = 1 - y$	$\eta_7 = x + y$	$\eta_{11} = 1 - 3y + y^2 + z^2$
			$\eta_4 = x$	$\eta_8 = x - y$	$\eta_{12} = x^2 - y^2 - xy^2 + x^2y^2$

# Risultati

Set completo di master integrals per MuonE:

- ▶ PDE risolte in termine di polilogaritmi nella regione euclidea  $s < 0, t < 0$
- ▶ Condizioni al contorno da vincoli di regolarità

$G_1$

Input	planar
$s \rightarrow 0$	$u \rightarrow 0$
$t \rightarrow 4m^2$	$t \rightarrow 0$
$u \rightarrow 2m^2$	$m^2 \rightarrow 0$
$s \rightarrow -m^2$	$s \leftrightarrow u$
$u \rightarrow \infty$	$t \rightarrow 4m^2$
	$s \rightarrow \frac{\sqrt{4m^2-t} - \sqrt{-t}}{\sqrt{4m^2-t} + \sqrt{-t}}$

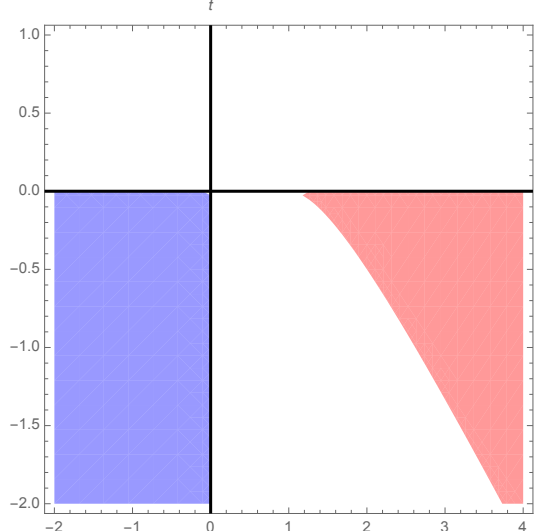
$G_2$

Input	$s \rightarrow 0$
$s \rightarrow 0$	$u \rightarrow 0$
$t \rightarrow 0$	$t \rightarrow 0$
$u \rightarrow m^2/2$	$u \rightarrow m^2/2$
$s \leftrightarrow u$	$s \leftrightarrow u$
$s \rightarrow \frac{\sqrt{4m^2-t} - \sqrt{-t}}{\sqrt{4m^2-t} + \sqrt{-t}}$	$s \rightarrow 2t - m^2 - \lambda_t$

$G_3$

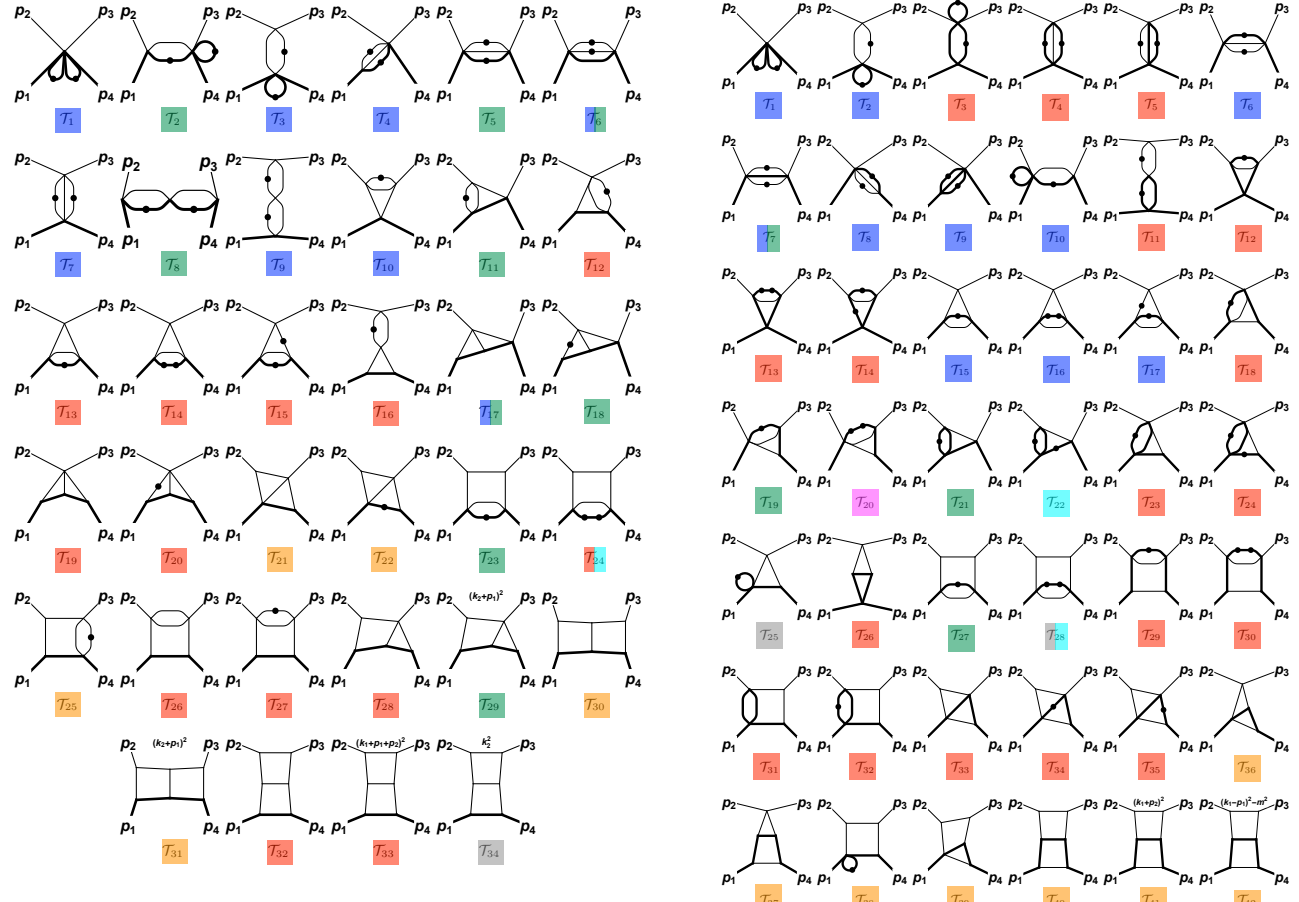
Input	$s \rightarrow 0$
$s \rightarrow 0$	$t \rightarrow 0$
$t \rightarrow 0$	$u \rightarrow m^2/2$
$u \rightarrow m^2/2$	$s \rightarrow 0$
$s \leftrightarrow u$	$t \rightarrow 0$
$s \rightarrow \frac{\sqrt{4m^2-t} - \sqrt{-t}}{\sqrt{4m^2-t} + \sqrt{-t}}$	$s \rightarrow 2t - m^2 - \lambda_t$

Continuazione analitica nella regione fisica

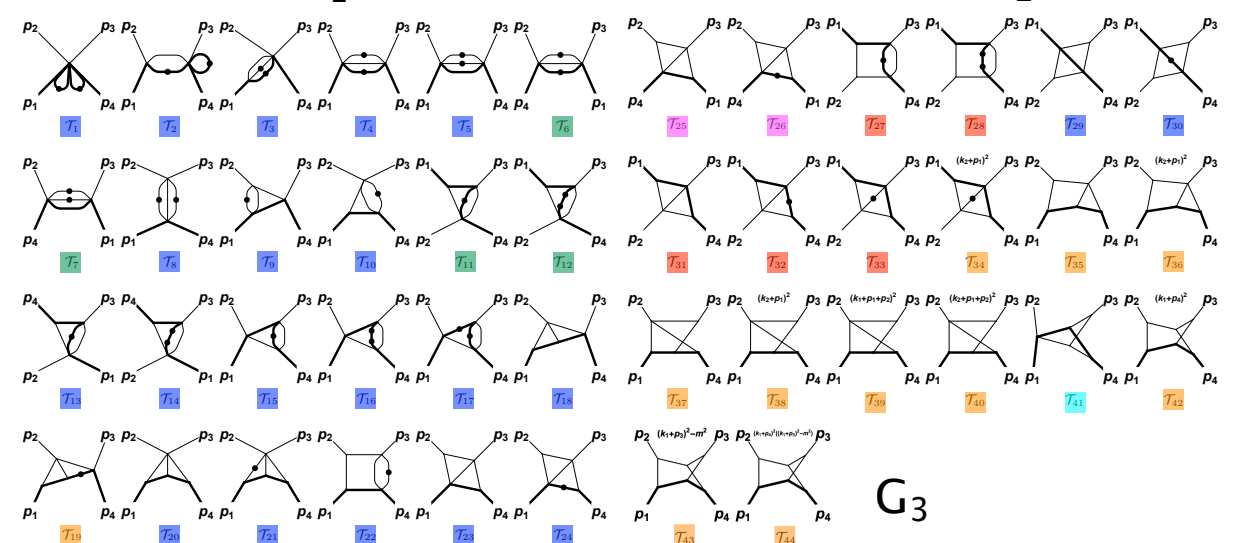


$$s > m^2$$

$$-\frac{(s - m^2)^2}{m^2} < t < 0$$



$G_1$



$G_2$

$G_3$

# Conclusioni

Obiettivo: generatore MC per la sezione d'urto SM dello scattering  $\mu e$

- ▶ incertezza sistematica segnale/normalizzazione  $\lesssim 10\text{ppm}$

Bulk: correzioni radiative scattering  $\mu e$  in QED

$$d\sigma = \underbrace{d\sigma^{(0)}}_{\text{LO}} + \underbrace{\alpha d\sigma^{(1)}}_{\text{NLO}} + \underbrace{\alpha^2 d\sigma^{(2)}}_{\text{NNLO}} + \underbrace{\alpha^3 d\sigma^{(3)}}_{\text{N}^3\text{LO}} + \mathcal{O}(\alpha^4)$$

- ▶ NLO QED+EW: MC differenziale disponibile ( $m_e \neq 0$ )
- ▶ NNLO QED: elemento di matrice virtuale ( $m_e=0$ )  
contributi di doppia e singola emissione
- ▶ NNLO adronico da dati space-like

Il calcolo delle correzioni virtuali allo scattering  $\mu e$  punto di partenza per MC a NNLO

C'è ancora molto da fare: struttura IR, effetti  $m_e$ , risomma...

# Il progetto MuonE

Serie di incontri teorici per il progetto MuonE



► Padova – Settembre 2017

► Mainz – Febbraio 2018

► Zürich – Febbraio 2019

Alacevich, Banerjee, Becher, Broggio, Carloni Calame, Chiesa, Czyż, Di Vita, Engel, Fael, Laporta, Passera, Piccinini, AP, Mastrolia, Montagna, Nicrosini, Ossola, Signer, Schubert, Spira, Torres Bobadilla, Trentadue, Ulrich, ...

<https://agenda.infn.it/conferenceDisplay.py?confId=13774>

<https://indico.mitp.uni-mainz.de/event/128/>

Prossimo meeting teorico: MTP Mainz 2020

25-26 Marzo 2019: 1° MuonE collaboration meeting al CERN

